

05.2; 09

© 1992

ЗАВИСИМОСТЬ ФАЗЫ ОТ ЧАСТОТЫ  
 ДЛЯ ОБМЕННЫХ СПИНОВЫХ ВОЛН В ПЛЕНКАХ  
 ЖЕЛЕЗО-ИТРИЕВОГО ГРАНАТА С НЕОДНОРОДНЫМИ  
 ПО ТОЛЩИНЕ МАГНИТНЫМИ СВОЙСТВАМИ

П.Е. Зильберман, А.Г. Темирязев,  
 М.П. Тихомирова

Применение коротких обменных спиновых волн (ОСВ) для обработки радиосигналов может дать возможность значительно уменьшить размеры функциональных элементов. По сравнению с элементами на магнитостатических спиновых волнах (МСВ) их размеры могут быть уменьшены примерно на 2–4 порядка в отношении: длин МСВ ( $10^2$ – $10^3$  мкм) и ОСВ ( $10^{-1}$ –1 мкм). В данной работе сообщается об экспериментальных исследованиях, показывающих перспективность использования неоднородных по толщине пленок железо-итриевого граната (ЖИГ) для построения устройств на ОСВ с различными частотными характеристиками фазы  $\varphi(\omega)$  и времени групповой задержки сигнала  $\tau(\omega) = \partial\varphi/\partial\omega$ .

При проведении экспериментов исследуемые образцы – пленки ЖИГ ориентации [111] с толщинами  $S = 10$ – $20$  мкм – помещались либо в нормальное, либо в касательное насыщающее поле  $H$ . СВЧ накачка подавалась с помощью отрезка полосковой линии передачи, расположенной вблизи образца. Измерялась мощность сигнала, прошедшего через полосковую линию, и сигнала, отраженного от нее, в зависимости от частоты  $\omega$  при фиксированном  $H$ . В некоторых пленках вместо стандартного провала на указанных зависимостях, вызванного ферромагнитным резонансным поглощением и имеющего ширину 3–30 МГц, наблюдалась широкая (100–1000 МГц) полоса поглощения, внутри которой можно было выделить тонкую структуру из большого числа (до 120) пиков. Ширина полосы менялась от пленки к пленке и зависела от ориентации поля  $H$ . Нумеруя пики в порядке возрастания их частоты, можно построить зависимость частоты  $\omega_n$  в центре  $n$ -го пика от номера  $n$ . Типичный вид таких зависимостей показан на рис. 1. Характер расположения пиков не зависел от размеров образца в плоскости при изменении последних от нескольких сантиметров до 1 мм. Уменьшение толщины пленки путем травления ее поверхности показало, что в спектре касательно намагниченной пленки по мере сгравлиивания последовательно исчезают наиболее высокочастотные пики, при этом частоты остающихся пиков не меняются.

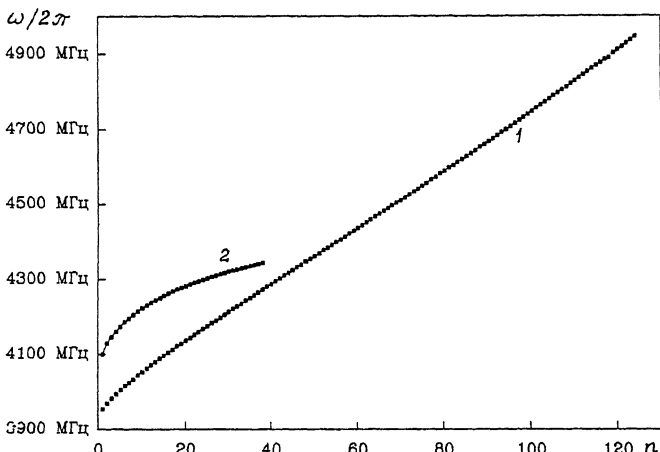


Рис. 1. Зависимость резонансной частоты от номера резонанса.  
 1 - спектр нормально намагниченной пленки,  $H=3505$  Э; 2 - спектр касательно намагниченной пленки,  $H=808$  Э; толщина пленки  $S=17.2$  мкм.

При интерпретации полученных результатов мы исходили из того, что наличие пиков объясняется резонансами ОСВ по толщине пленки, поскольку  $\omega_n(n)$  не зависит от плоскостных размеров образца. Если бы имел место обычный спин-волновой резонанс в однородной по толщине пленке, то разность  $(\omega_n - \omega_1)$  возрастала бы с номером  $n$  как  $n^2$  [1]. Фактически, однако, этого не происходит (рис. 1). Причиной может являться изменение магнитных свойств пленок по толщине [2, 3]. Подобные отступления от закона  $n^2$  наблюдались в металлических [4] и ЦМД пленках [5] и были объяснены именно влиянием неоднородностей по толщине. В пленках ЖИГ изменение намагниченности наблюдалось ранее лишь в относительно тонком приповерхностном слое [6], а также в пленках с линейным профилем намагниченности [7]. Будем считать, что параметром, изменяющимся вдоль координаты  $x$  вглубь пленки, является эффективная намагниченность  $M(x)$ , определяемая намагниченностью насыщения  $M_{sat}$  и полем одноосной анизотropии  $H_a$ :  $4\pi M(x)=4\pi M_{sat} - H_a$ . Для доказательства предлагаемой интерпретации экспериментальных данных мы покажем, что если путем обработки отдельно каждой из двух, представленных на рис. 1, зависимостей  $\omega_n(n)$  восстановить профиль  $M(x)$ , то профили, полученные из спектров нормально и касательно намагниченной пленки, совпадают. Будем считать, что  $M(x)$  меняется по толщине монотонно, достигая максимального значения  $M=M_0$  при  $x=0$  и минимального значения  $M=M_S$  при  $x=S$ . Введем эффективное волновое число  $q$  ОСВ, распространяющейся по нормали

к поверхности, как функцию частоты  $\omega$  и координаты  $x$ . Рассмотрим случай нормально намагниченной пленки. Тогда  $q$  находится из дисперсионного уравнения [1]:

$$\omega = \gamma(H - 4\pi M) + \alpha \cdot \gamma \cdot 4\pi M_{sat} \cdot q^2, \quad (1)$$

в котором  $\gamma$  – гиromагнитное отношение,  $\alpha$  – постоянная неоднородного обмена. Будем считать, что величина  $\alpha \cdot \gamma \cdot 4\pi M_{sat}$  меняется незначительно. Из (1) видно, что если  $\omega$  лежит в диапазоне  $\omega_0 < \omega < \omega_S$  (где  $\omega_S = \gamma(H - 4\pi M_S)$  и  $\omega_0 = \gamma(H - 4\pi M_0)$ ) то внутри пленки имеется точка с некоторой координатой  $x = d$ , в которой  $q$  обращается в ноль. Обменные спиновые волны не распространяются в слое  $d < x < S$ , где величина  $q^2 < 0$  и могут распространяться при  $0 < x < d$ , поскольку в этом интервале значение  $q^2 > 0$ . С ростом частоты величина  $d$  увеличивается, и расширяется участок распространения ОСВ. При  $\omega = \omega_S$  значение  $d$  достигает второй границы пленки  $x = S$ , что приводит к резкому падению интенсивности ОСВ на частотах  $\omega > \omega_S$ . Последнее обстоятельство связано с тем, что вблизи точки  $x = d$  поле ОСВ меняется с  $x$  наиболее плавно, так что интеграл перекрытия с СВЧ полем накачки максимален. Поэтому эффективное возбуждение ОСВ происходит в слое, где  $q \sim 0$ , и именно наличие подобного слоя внутри пленки играет первостепенное значение. Набег фазы ОСВ при распространении от точки возбуждения до поверхности пленки и обратно запишем в виде:

$$\varphi(\omega) = 2 \int_0^{d(\omega)} q(x, \omega) dx. \quad (2)$$

Тогда условие резонанса будет иметь вид:

$$\varphi(\omega_n) + \varphi_0 = 2\pi n, \quad (3)$$

где  $n = 1, 2, 3, \dots$ ,  $\varphi_0$  – скачок фазы ОСВ при отражениях от границы области распространения, зависящий от степени закрепления спинов на поверхности пленки. Поскольку  $q(d, \omega) = 0$ , мы можем, подставляя в (1) экспериментальные значения частот резонансов  $\omega = \omega_n$ , найти величины  $M_n$ , соответствующие  $M(x)$  при  $x = d_n \equiv d(\omega_n)$ . Координаты  $d_n$  найдем из уравнений (2) и (3), считая, что на участке  $d_n \leq x \leq d_{n+1}$  зависимость  $M(x)$  линейна. Таким образом, мы получим набор значений  $M_n(d_n)$ , описывающий распределение намагниченности по толщине пленки. Проведя аналогичный расчет для случая касательно намагниченной пленки и сравнивая полученные результаты (рис. 2), мы видим, что найденные зависимости практически совпадают. Следует отметить, что область распространения ОСВ в касательно намагниченной пленке примыкает к границе с меньшей намагниченностью  $M = M_S$ . Поэтому результаты эксперимента по стравливанию пленки

показывают, что минимум  $M(x)$  достигается на гранище пленка-подложка. Частоты первых пиков при этом действительно не должны зависеть от толщины  $s$  до тех пор, пока  $s$  больше длины участка распространения.

Таким образом, мы показали, что ОСВ в пленках ЖИГ с неоднородным по толщине распределением эффективной намагниченности могут быть возбуждены в широком частотном диапазоне (до 1 Гц). Зависимости номеров резонансов ОСВ от частоты представляют собой по сути фазочастотные характеристики ОСВ. Время групповой задержки сигнала в такой структуре  $\tau(\omega) = \frac{\partial\varphi}{\partial\omega}$

определяется расстоянием между соседними пиками  $\tau = 2\pi/(\omega_{n+1} - \omega_n)$  и составляет от 35 до 350 нс для касательно намагниченной пленки и  $\sim 130$  нс для нормально намагниченного образца. Рассмотрим, каковы возможности получения требуемых для практического использования зависимостей  $\varphi(\omega)$  и  $\tau(\omega)$  с помощью выбора профиля  $M(x)$ . Возьмем  $M(x)$  в виде функции, меняющейся по степенному закону  $M(x) = M_0 - \Delta M (x/d)^r$ , где  $\Delta M = M_0 - M_S$ . Тогда для случая нормально намагниченной пленки из (1) и (2) получим:

$$\begin{aligned}\varphi(\omega) &= C \cdot \Delta \omega^{\frac{r+2}{2r}}, \\ \tau(\omega) &= C \cdot \frac{r+2}{2r} \cdot \Delta \omega^{\frac{2-r}{2r}},\end{aligned}\quad (4)$$

где  $\Delta \omega = (\omega - \omega_0)$ ,

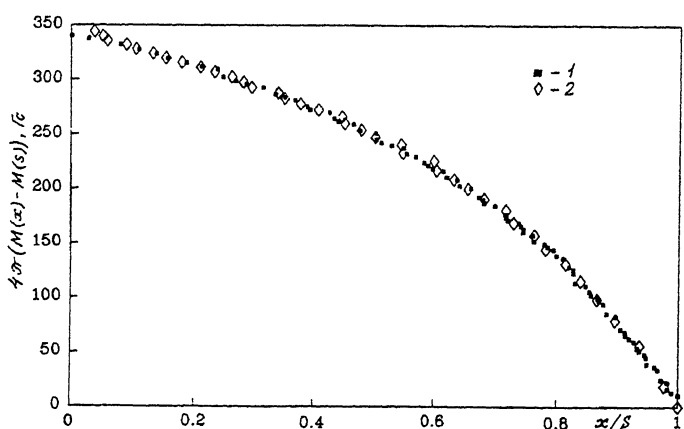


Рис. 2. Профиль изменения эффективной намагниченности по толщине пленки. 1 – данные, полученные из спектра нормально намагниченной пленки; 2 – данные, полученные из спектра касательно намагниченной пленки.

$$C = \frac{2S}{\sqrt{4\pi\gamma \cdot \Delta M} \cdot \sqrt{\alpha \cdot \gamma \cdot 4\pi M_{sat}}} \cdot \int_0^1 \sqrt{1-y^r} dy. \quad (5)$$

Видно, что в полосе частот  $B \equiv (\omega_S - \omega_0)/2\pi$  можно получить частотные зависимости различного вида. Например, для  $r=2/3$  задержка  $\tau$  линейно меняется с  $\Delta\omega$ . Для  $r=2$  фаза  $\varphi \sim \Delta\omega$ , а  $\tau$  от  $\omega$  не зависит. В последнем случае  $B\tau \sim S\sqrt{\Delta M}$  и составляет  $\approx 1000$  при  $S = 120$  мкм и  $\Delta M/M_{sat} = 0.3$ . При этом  $\tau \approx 620$  нс, то есть меньше времени релаксации для ЖИГ с шириной линии ферромагнитного резонанса  $\leq 0.55$  Э.

### Список литературы

- [1] Ахиезер А.И., Барьяхтар В.Г., Пелет-минский С.В. Спиновые волны. М.: Наука, 1967.
- [2] Portis A.M. // Appl. Phys. Lett. 1963. V. 2. N 4. P. 69-71.
- [3] Schliemann E. // J. Appl. Phys. 1965. V. 36. N 3. (part 2). P. 1193-1194.
- [4] Wigen P.E., Kooy C.F., Shanabarger M.R. // J. Appl. Phys. 1964. V. 35. N 11. P. 3302-3311.
- [5] Hoekstra B., Van Stapele R.P., Robertson J.M. // J. Appl. Phys. 1977. V. 48. N 1. P. 382-395.
- [6] Помялов А.В., Зильберман П.Е. // ФТТ. 1984. Т. 26. В. 11. С. 3504-3505.
- [7] Лупев Л.В., Бerezin И.Л., Яковлев Ю.М. / Электронная техника. Сер. Электроника СВЧ. 1989. В. 5. С. 5-8.

Институт радиотехники  
и электроники РАН,  
Фрязинская часть

Поступило в Редакцию  
23 апреля 1992 г.